

## • Induzierte Spaltung

$n + {}^{238}_{92}\text{U}$   $\Delta B = 5 \text{ MeV}$  aber Spaltbarriere = 6,1 MeV für  ${}^{239}_{92}\text{U}$   
 schnelle Neutronen notwendig, aber  $\sigma \sim 1/v$

$n + {}^{235}_{92}\text{U}$   $\Delta B = 6,4 \text{ MeV}$ , Spaltbarriere = 5,3 MeV für  ${}^{236}_{92}\text{U}$  (ug  $\rightarrow$  gg-Kern)  
 $\leftrightarrow$  thermische Neutronen  $\checkmark$

## • $\gamma$ -Zerfall

$\leftrightarrow$  Multipolübergänge

Bsp. für einen M1- Übergang (Dipol):

$1^+ \rightarrow 0^+$

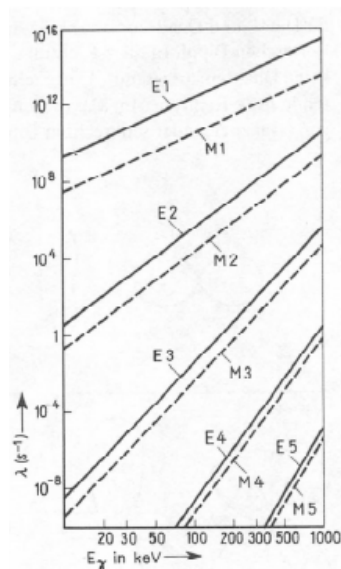
$\Delta P = +$ ,  $\Delta J = 1$ ,

$(-1)^{L+1} = + \Rightarrow M$

$\leftrightarrow E_\gamma \rightarrow$  Abstände der Energieniveaus

$\leftrightarrow$  Winkelverteilungen (Polarisation)

$\rightarrow$  Rückschlüsse auf  $J^P$  der beteiligten Kernniveaus



163

## Nutzen von beobachteten $\gamma$ -Zerfallslinien im Strahlenschutz

$\leftrightarrow$  Freimessen von Gegenständen als SHK



Die Abteilung Strahlenschutz des HSKP sucht SHK mit:

- Interesse an einer verantwortungsvollen Tätigkeit
- Erfolgreich abgeschlossenem Praktikum 4
- Bereitschaft zu Arbeit in Kontrollbereichen

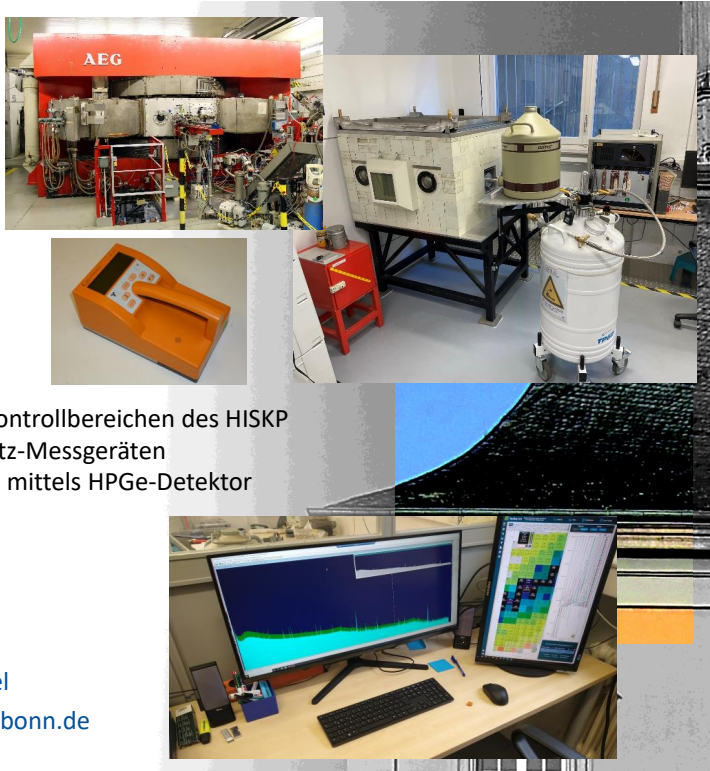
Ihre Aufgaben sind:

- Aktivierungs- und Kontaminationsmessungen in den Kontrollbereichen des HSKP
- Bedienung, Kalibration und Wartung von Strahlenschutz-Messgeräten
- Messung und Auswertung von  $\gamma$ -Emissionsspektren mittels HPGe-Detektor
- Kontrolle von Wischproben mittels  $\alpha, \beta$ -Counter
- Dokumentation der Messergebnisse

Bei Interesse:

Dr. Marcus Grüner  
 gruener@hiskp.uni-bonn.de

Dr. Christoph Wendel  
 cwendel@hiskp.uni-bonn.de



163

## • Induzierte Spaltung

$n + {}^{238}_{92}\text{U}$   $\Delta B = 5 \text{ MeV}$  aber Spaltbarriere = 6,1 MeV für  ${}^{239}_{92}\text{U}$   
 schnelle Neutronen notwendig, aber  $\sigma \sim 1/v$

$n + {}^{235}_{92}\text{U}$   $\Delta B = 6,4 \text{ MeV}$ , Spaltbarriere = 5,3 MeV für  ${}^{236}_{92}\text{U}$  (ug  $\rightarrow$  gg-Kern)  
 $\leftrightarrow$  thermische Neutronen  $\checkmark$

## • $\gamma$ -Zerfall

$\leftrightarrow$  Multipolübergänge

Bsp. für einen M1- Übergang (Dipol):

$$1^+ \rightarrow 0^+$$

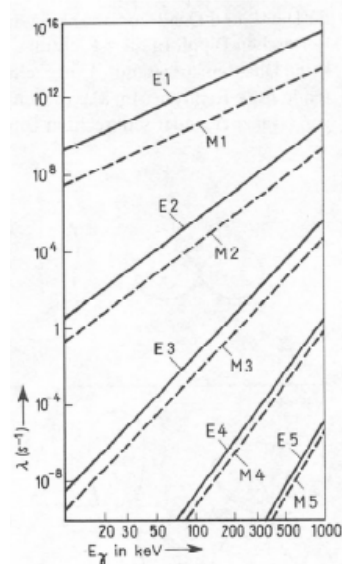
$$\Delta P = +, \quad \Delta J = 1,$$

$$(-1)^{L+1} = + \Rightarrow M$$

$\leftrightarrow E_\gamma \rightarrow$  Abstände der Energieniveaus

$\leftrightarrow$  Winkelverteilungen (Polarisation)

$\rightarrow$  Rückschlüsse auf  $J^P$  der beteiligten Kernniveaus



... weiter mit: Elastische Streuung:  $a + b \rightarrow a' + b'$

$\leftrightarrow$  Kernladungsverteilungen aus der  $e^-$ -Streuung

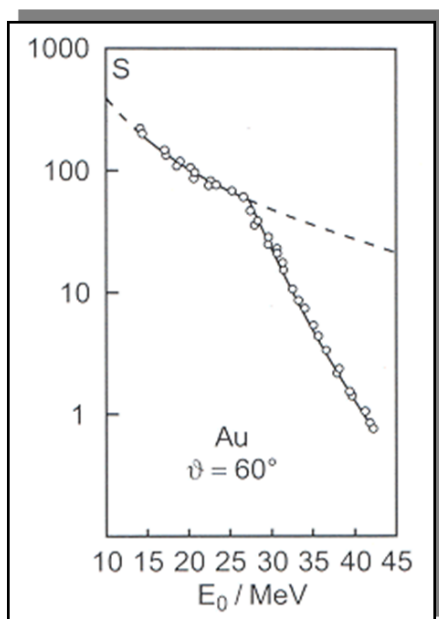
163

## Erinnerung: Rutherford Experiment - Coulomb-Streuung

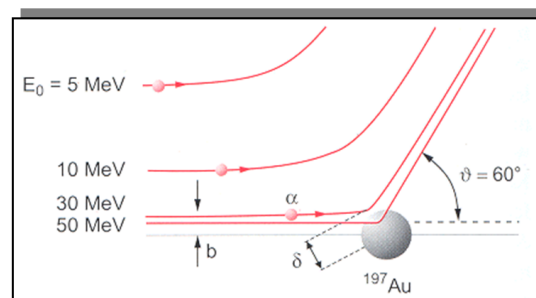
Experiment mit  $\alpha$ -Teilchen

Abschätzung des Kernradius aus Abweichungen von der Coulomb-Streuung

### • fester Streuwinkel:



$\leftrightarrow$  Effekt der starken Wechselwirkung



$\Rightarrow$  Bestimmen des Kernradius

$$R_K \approx \delta_{crit} = \frac{Z_1 \cdot Z_2 \cdot e^2}{4\pi\epsilon_0 2E_{kin}} \cdot \left[ 1 + 1/\sin\left(\frac{\theta_{crit}}{2}\right) \right]$$

$$\Rightarrow R = R_0 \cdot A^{1/3}, \quad R_0 \approx 1.3 \text{ fm}$$

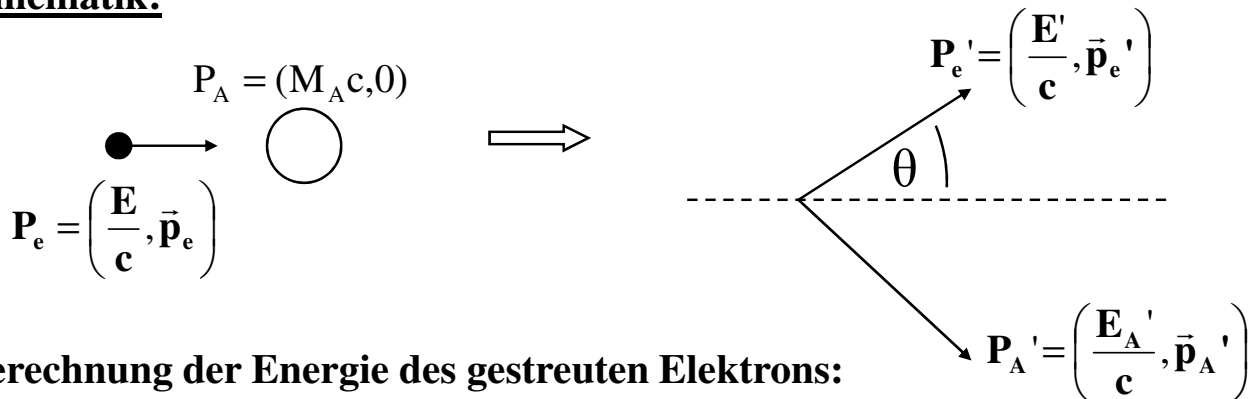
164

elektromagnetische WW; Ausmessung der Ladungsverteilung

**Vorteile:** Elektron elementar, keine innere Struktur  
EM-WW sehr genau bekannt und zu berechnen

**Nachteile:** Wirkungsquerschnitte kleiner als bei starker WW

**Kinematik:**



Berechnung der Energie des gestreuten Elektrons:

4-Impulserhaltung:  $P_e + P_A = P_e' + P_A'$

165

## Elastische Streuung von Elektronen an Kernen

Berechnete Elektronenenergie :

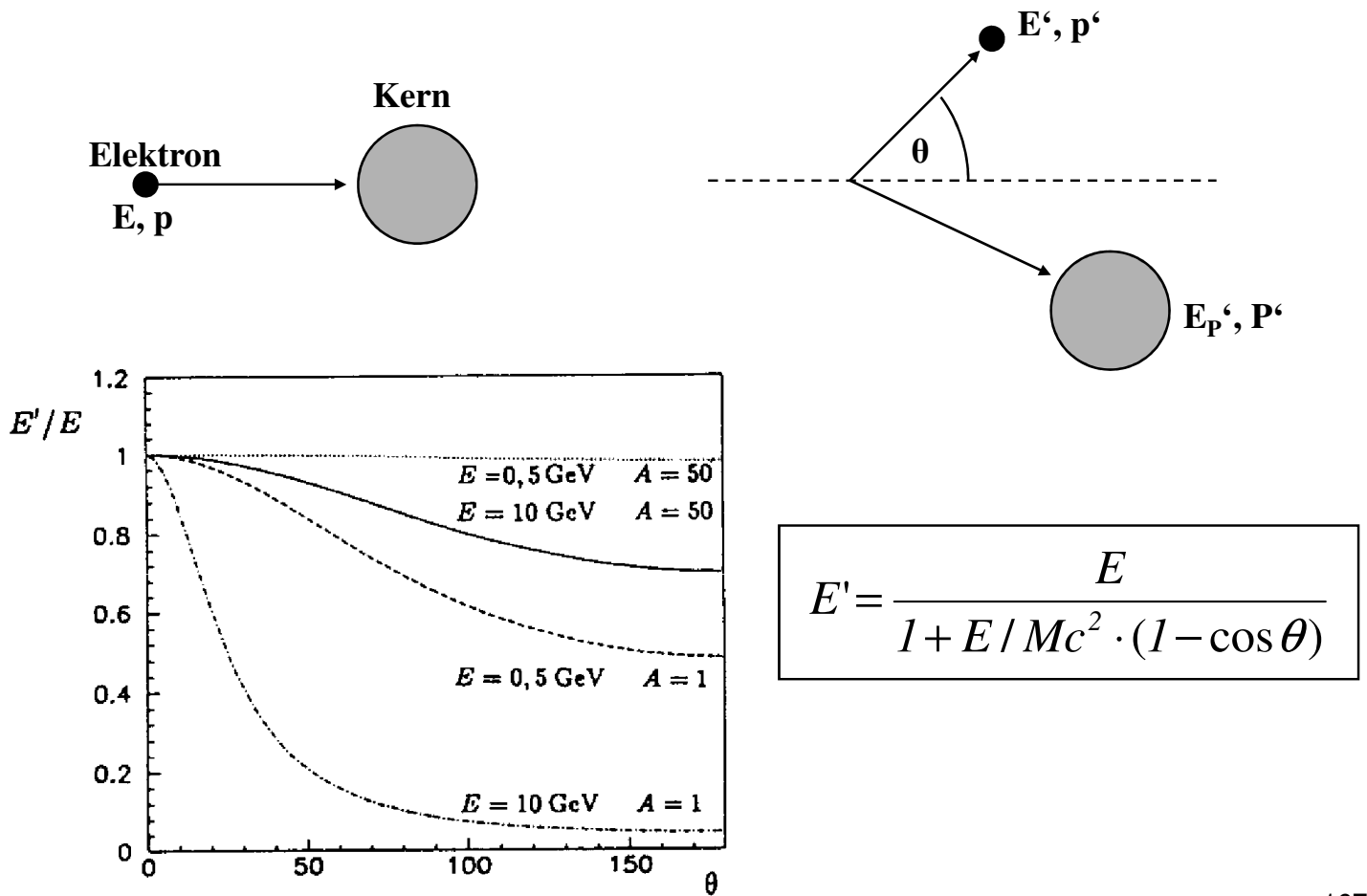
$$E' = \frac{E}{1 + \frac{E}{M_A c^2} (1 - \cos(\theta))} = \frac{E}{1 + \frac{2E}{M_A c^2} \sin^2\left(\frac{\theta}{2}\right)} \quad \text{wegen } 1 - \cos(\theta) = 2 \cdot \sin^2\left(\frac{\theta}{2}\right)$$

$E - E' = v$       Energieübertrag auf Rückstoßkern

bei elastischer Streuung:

- fester Zusammenhang zwischen Streuwinkel und Energie  $E'$ ,
- Streuenergie  $E'$  um so kleiner (Energieübertrag auf Rückstoßkern um so größer) je größer  $E/M_A c^2$

166



167

## Rutherfordstreuung

**Wirkungsquerschnitt:**

$$\left( \frac{d\sigma}{d\Omega} \right) = \left( \frac{d\sigma}{d\Omega} \right)_{\text{Rutherford}} = \frac{Z^2 \alpha^2 (\hbar c)^2}{4E^2 \sin^4 \left( \frac{\theta}{2} \right)}$$

**Vernachlässigt:** Energieübertrag auf den Rückstoßkern, Spin  
**Kern wird als „punktförmige Ladung“ betrachtet**

⇔ Bisher klassisch abgeleitet

**Jetzt: Schrittweises Annähern an die realistische Elektron-Kern-Streuung**

⇒ Ladungsverteilung der Kerne

⇒ Ladungsverteilung des Protons

⇒ .... **Struktur des Protons**

⇔ etwas später in der Vorlesung

**Ableitung des Wirkungsquerschnittes mittels Fermi's goldener Regel (Quantenmechanik) + Berücksichtigung der Ladungsverteilung des Kernes**

$$W = \frac{2\pi}{\hbar} \left| \langle \Psi_f | H_{\text{int}} | \Psi_i \rangle \right|^2 \frac{dn}{dE_f}$$

⇒ 1) Relevante kinematische Größen  
 2) Matricelement  
 ⇒ Wirkungsquerschnitt

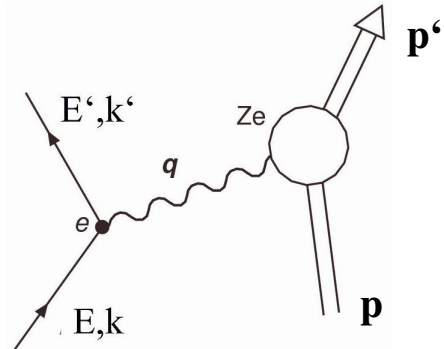
168

**Kinematik:**

$$\mathbf{q} = \mathbf{k} - \mathbf{k}' = \begin{pmatrix} \mathbf{E} - \mathbf{E}' \\ \vec{q} \end{pmatrix}$$

**Quantenfeldtheorie:**

Elektron emittiert ein Photon mit Impulsübertrag  $\mathbf{q}$ , dass vom Kern mit der Ladung  $Ze$  absorbiert wird



**Lorentz-Invarianten:**

**4er-Impulsübertrag:** ( $\hbar = c = 1$ )

$$\begin{aligned} Q^2 &= -\mathbf{q}^2 = -\mathbf{k}^2 - \mathbf{k}'^2 + 2\mathbf{k}\mathbf{k}' \\ &= -2m_e^2 + 2(\mathbf{E}\mathbf{E}' - |\vec{k}| |\vec{k}'| \cos \theta) \\ &\approx 2\mathbf{E}\mathbf{E}' (1 - \cos \theta) = 4\mathbf{E}\mathbf{E}' \sin^2 \theta / 2 \end{aligned}$$

↙  
im Laborsystem

**Energieübertrag:**

$$\mathbf{v} = \frac{\mathbf{pq}}{\mathbf{M}} = \mathbf{E}_{\gamma}^* = \mathbf{E} - \mathbf{E}'$$

↙  
im Laborsystem

**Elastische Streuung:**

$$\mathbf{p}' = \mathbf{p} + \mathbf{q}$$

$$\mathbf{p}'^2 = \mathbf{p}^2 + \mathbf{q}^2 + 2\mathbf{pq}$$

$$\mathbf{M}^2 = \mathbf{M}^2 - \mathbf{Q}^2 + 2\mathbf{Mv}$$

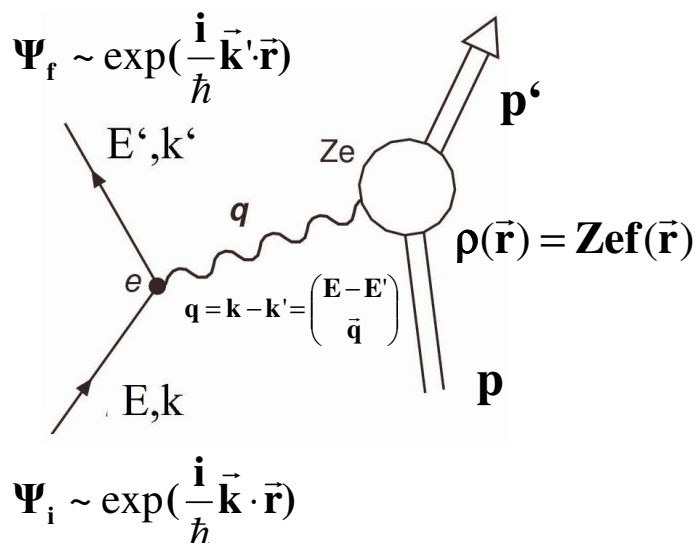
$$\Rightarrow \mathbf{x} = \frac{\mathbf{Q}^2}{2\mathbf{Mv}} = 1$$

169

## Streuung an einer ausgedehnten Ladungsverteilung

( **Kein Rückstoß, kein Spin** (rechnen mit 3er-Impulsen) )

**Born'sche Näherung** ( $Z\alpha \ll 1$ )



**Übergangsmatrixelement**

$$\begin{aligned} \mathbf{M}_{fi} &= \langle \Psi_f | \mathbf{H}_{int} | \Psi_i \rangle = \langle \Psi_f | e\Phi(\vec{r}) | \Psi_i \rangle \\ &= \frac{e}{V} \int e^{(-i\vec{k}' \cdot \vec{r})/\hbar} \Phi(\vec{r}) e^{(i\vec{k} \cdot \vec{r})/\hbar} d^3r \\ &= \frac{e}{V} \int e^{(i\vec{q} \cdot \vec{r})/\hbar} \Phi(\vec{r}) d^3r \end{aligned}$$

$\Phi(\vec{r})$ : Elektrisches Potential

$\rho(\vec{r})$ : Ladungsdichte

170

# Streuung an einer ausgedehnten Ladungsverteilung

(Kein Rückstoß, kein Spin)

Übergangsmatrixelement

$$\begin{aligned}
 M_{fi} &= \frac{e}{V} \int e^{(i\vec{q} \cdot \vec{r})/\hbar} \Phi(\vec{r}) d^3 r \\
 &= \frac{-e\hbar^2}{V |\vec{q}|^2} \int \Delta e^{(i\vec{q} \cdot \vec{r})/\hbar} \Phi(\vec{r}) d^3 r \\
 &= \frac{e\hbar^2}{\epsilon_0 V |\vec{q}|^2} \int e^{(i\vec{q} \cdot \vec{r})/\hbar} \rho(\vec{r}) d^3 r \\
 &= \frac{Z4\pi\alpha\hbar^3 c}{V |\vec{q}|^2} \underbrace{\int e^{(i\vec{q} \cdot \vec{r})/\hbar} f(\vec{r}) d^3 r}_{F(\vec{q})}
 \end{aligned}$$

mit:

$$\Delta e^{(i\vec{q} \cdot \vec{r})/\hbar} = -\frac{|\vec{q}|^2}{\hbar^2} e^{(i\vec{q} \cdot \vec{r})/\hbar}$$

**Green'sches Theorem:**

$$\int (\mathbf{u} \Delta \mathbf{v} - \mathbf{v} \Delta \mathbf{u}) d^3 r = 0$$

**Poisson-Gleichung:**

$$-\Delta \Phi = \frac{1}{\epsilon_0} \rho(\vec{r})$$

Formfaktor = Fouriertransformierte  
der Ladungsverteilung  $f(\vec{r}) = \rho(\vec{r}) / Ze$

171

# Streuung an einer ausgedehnten Ladungsverteilung

(Kein Rückstoß, kein Spin)

Berechnung des Wirkungsquerschnitts:

$$\sigma = \frac{\text{Zahl der Reaktionen pro Zeiteinheit}}{\text{Zahl der Strahlteilchen pro Zeiteinheit pro Flächeneinheit} \times \text{Zahl der Streuzentren}}$$

$$\sigma = \frac{\dot{N}}{\phi_s \cdot N_T}$$

$$W = \frac{\text{Zahl der Reaktionen pro Zeiteinheit}}{\text{Zahl der Strahlteilchen} \times \text{Zahl der Streuzentren}}$$

$$W = \frac{2\pi}{\hbar} \left| \langle \Psi_f | H_{\text{int}} | \Psi_i \rangle \right|^2 \frac{dn}{dE_f} = \frac{\dot{N}}{N_s \cdot N_T} = \frac{\sigma \cdot \phi_s}{N_s} = \frac{\sigma \cdot \frac{N_s}{V} \cdot v_s}{N_s} = \frac{\sigma \cdot v_s}{V}$$

$$\rightarrow d\sigma \cdot \frac{v_s}{V} = \frac{2\pi}{\hbar} \left| \langle \Psi_f | H_{\text{int}} | \Psi_i \rangle \right|^2 \frac{V |\vec{k}'|^2 d\vec{k}'}{(2\pi\hbar)^3 dE_f} d\Omega$$

172

# Streuung an einer ausgedehnten Ladungsverteilung

(Kein Rückstoß, kein Spin)

Berechnung des Wirkungsquerschnitts:

$$d\sigma \cdot \frac{v_s}{V} = \frac{2\pi}{\hbar} \left| \langle \Psi_f | H_{\text{int}} | \Psi_i \rangle \right|^2 \frac{V |\vec{k}'|^2 d\vec{k}'}{(2\pi\hbar)^3 dE_f} d\Omega$$

$$\frac{d\sigma}{d\Omega} = \frac{V^2 E'^2}{(2\pi)^2 (\hbar c)^4} |M_{fi}|^2$$

$\Leftarrow$

$$E' \approx |\vec{k}'| c$$

$$v \approx c$$

$$= \frac{V^2 E'^2}{(2\pi)^2 (\hbar c)^4} \cdot \left( \frac{Z 4\pi\alpha\hbar^3 c}{V |\vec{q}|^2} F(\vec{q}) \right)^2$$

$$= \frac{Z^2 4\alpha^2 (\hbar c)^2 E'^2}{|\vec{q}c|^4} |F(\vec{q})|^2$$

$\Leftarrow$

$$Q^2 = -q^2 = \frac{4EE'}{c^2} \sin^2 \theta / 2$$

$$\frac{d\sigma}{d\Omega} = \frac{Z^2 \alpha^2 (\hbar c)^2}{4E^2 \sin^4 \frac{\theta}{2}} |F(\vec{q})|^2$$

mit  $E=E'$

Formfaktor = Fouriertransformierte der Ladungsverteilung

$$F(\vec{q}) = \int e^{i\vec{q}\cdot\vec{r}/\hbar} f(\vec{r}) d^3r$$

173

Rutherford-WQ

## Ausgedehnte Ladungsverteilung - Formfaktoren -

(Rutherfordstreuung: kein Rückstoß, kein Spin)

$$\frac{d\sigma}{d\Omega} = \frac{Z^2 \alpha^2 (\hbar c)^2}{4E^2 \sin^4 \frac{\theta}{2}} |F(\vec{q})|^2$$

$\Leftarrow$

Formfaktor = Fouriertransformierte der Ladungsverteilung

$$F(\vec{q}) = \int e^{i\vec{q}\cdot\vec{r}/\hbar} f(\vec{r}) d^3r$$

Rutherford-WQ

**Messung der Ladungsverteilung eines unbekannten Objektes:**

- Messung des Wirkungsquerschnittes
- Division durch Rutherford-Wirkungsquerschnitt (berechnet)
- Bestimmen des Formfaktors
- Fourier-Rücktransformation:

$$f(\vec{r}) = \frac{1}{(2\pi)^3} \int e^{-i\vec{q}\cdot\vec{r}/\hbar} F(\vec{q}) d^3q$$

Hier : kugelsymmetrischer Fall:

$$f(\vec{r}) = f(|\vec{r}|), F(\vec{q}) = F(q)$$

oft auch als  $F(q^2)$

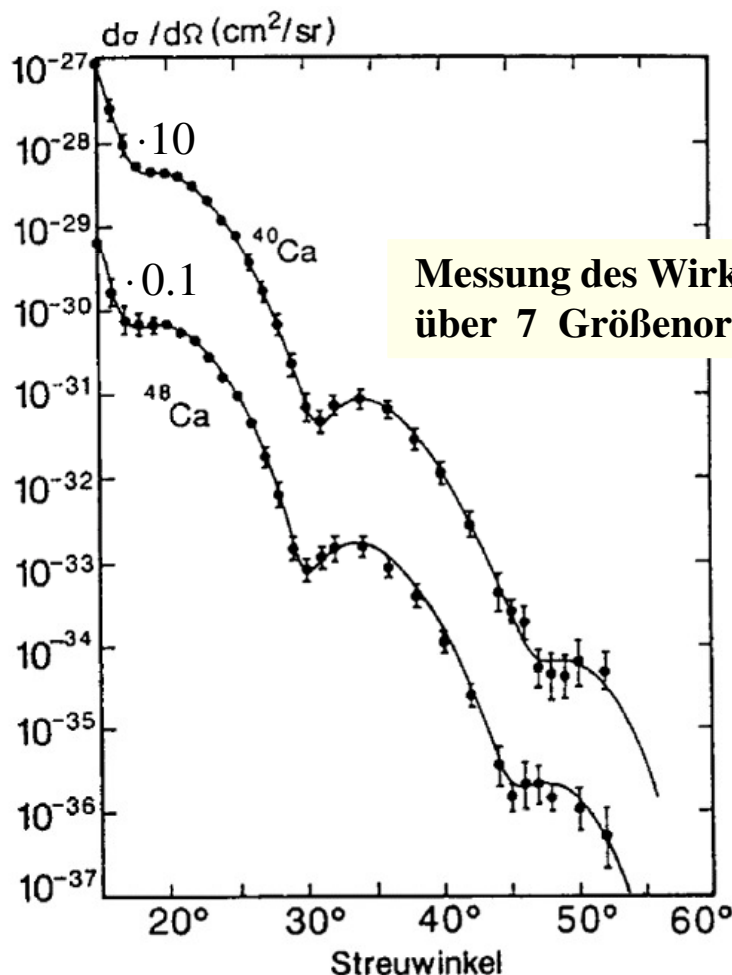
**Problem: Exp. Messung bei hohen q**

- Begrenzte Strahlenergie
- WQ fällt mit zunehmendem  $q^2$  ab

$\Leftrightarrow$  Messung über gewissen Bereich, theoret. Parametrisierungen von  $f(r)$ , berechnen von  $F(q)$ , dann Vergleich mit Messung



## Ausgedehnte Ladungsverteilung - Formfaktoren -



### Streuung an <sup>40</sup>Ca und <sup>48</sup>Ca

Messung des Wirkungsquerschnittes  
über 7 Größenordnungen

⇔ Problem: Exp. Messung bei  
hohen  $q$

- Begrenzte Strahlenergie
- WQ fällt mit zunehmendem  $q^2$  ab

⇔ Messung über gewissen Bereich,

- theoret. Parametrisierung von  $f(r)$ ,
- Berechnen von  $F(q)$ ,
- dann Vergleich mit Messung

175

## Ausgedehnte Ladungsverteilung - Formfaktoren -

Analytische Berechnung von  $F(q^2)$  für einfache Radialfunktionen möglich

Ladungsverteilung $f(r)$		Formfaktor $F(q^2)$	
Punkt	$\delta(r)/4\pi$	1	konstant
exponentiell	$(a^3/8\pi) \cdot \exp(-ar)$	$(1 + q^2/a^2\hbar^2)^{-2}$	Dipol
Gauß	$(a^2/2\pi)^{3/2} \cdot \exp(-a^2r^2/2)$	$\exp(-q^2/2a^2\hbar^2)$	Gauß
homogene Kugel	$\begin{cases} 3/4\pi R^3 & \text{für } r \leq R \\ 0 & \text{für } r > R \end{cases}$	$3\alpha^{-3}(\sin \alpha - \alpha \cos \alpha)$ mit $\alpha =  q R/\hbar$	oszillierend

176



## Ausgedehnte Ladungsverteilung - Formfaktoren -

Analytische Berechnung von  $F(q^2)$  für einfache Radialfunktionen möglich

$\varrho(r)$	$ F(q^2) $	Beispiel
punktförmig	konstant	Elektron
exponentiell	Dipol	Proton
gaußförmig	gaußförmig	${}^6\text{Li}$
homogene Kugel	oszillierend	—
Kugel mit diffusem Rand	oszillierend	${}^{40}\text{Ca}$

$r \longrightarrow \quad \quad \quad |q| \longrightarrow$

$$F(q^2) = 1$$

$$F(q^2) = \frac{3\hbar^3}{(|\mathbf{q}|R)^3} \left[ \sin\left(\frac{|\mathbf{q}|R}{\hbar}\right) - \frac{|\mathbf{q}|R}{\hbar} \cos\left(\frac{|\mathbf{q}|R}{\hbar}\right) \right]$$

Beugungsminima und -maxima

$$\text{Minimum für } \frac{|\mathbf{q}|R}{\hbar} \approx 4.5$$

177

## Ausgedehnte Ladungsverteilung - Formfaktoren -

$F(q^2)$  für einfache Radialfunktionen:

$\varrho(r)$	$ F(q^2) $	Beispiel
punktförmig	konstant	Elektron
exponentiell	Dipol	Proton
gaußförmig	gaußförmig	${}^6\text{Li}$
homogene Kugel	oszillierend	—
Kugel mit diffusem Rand	oszillierend	${}^{40}\text{Ca}$

$r \longrightarrow \quad \quad \quad |q| \longrightarrow$

grundsätzlich gilt:

- im Grenzfall eines punktförmigen Objektes:  $F(q^2) = 1 = \text{const.}$
- je größer bzw. ausgedehnter das Objekt ist, desto stärker fällt  $|F(q^2)|$  zu großem  $q^2$  ab

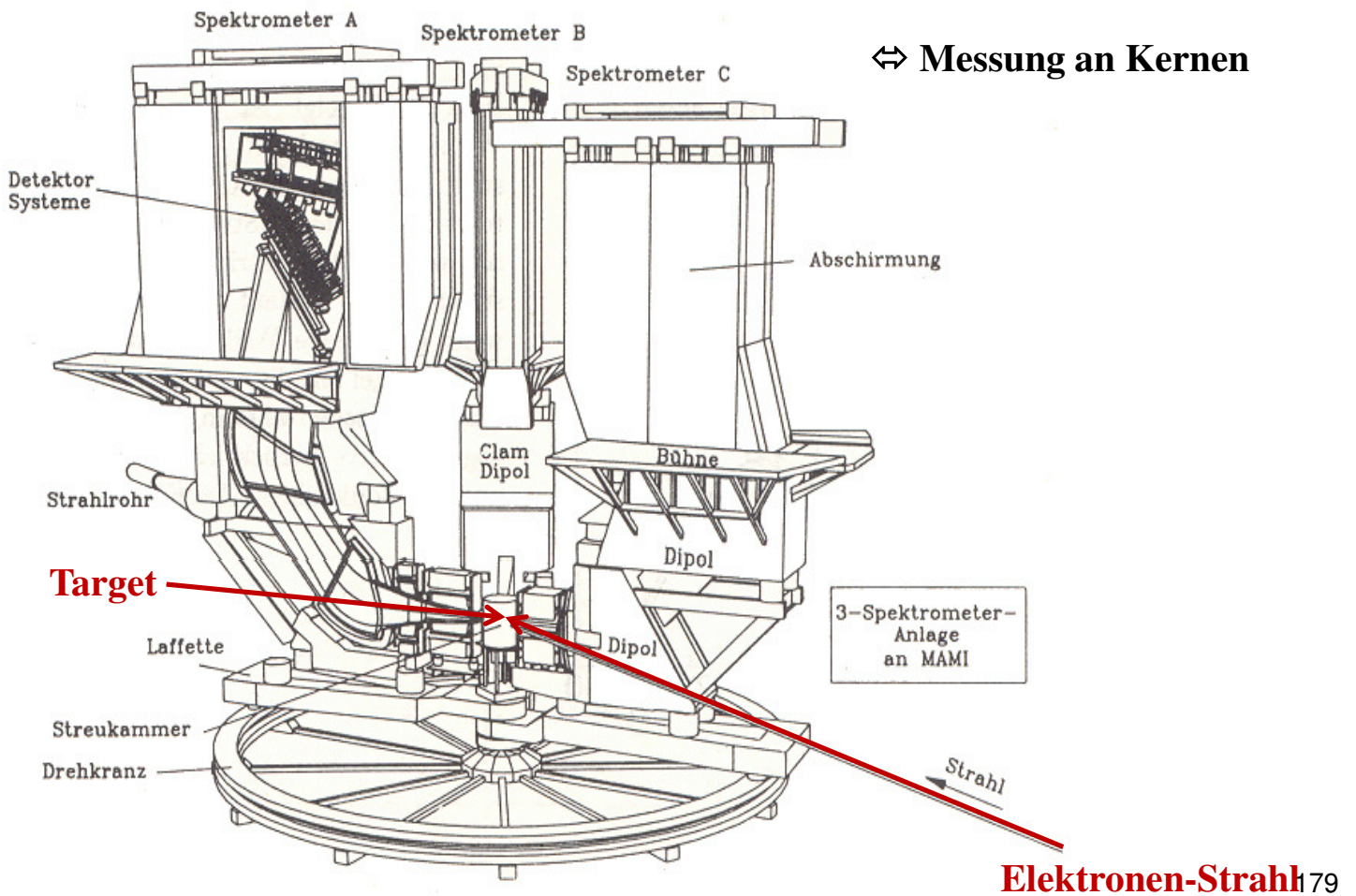
Formfaktor führt zu einer Verringerung des WQ bei großen Impulsüberträgen

$$\tilde{\lambda} = \frac{\hbar}{|\vec{q}|} = \frac{\hbar}{|\vec{k}|} \frac{1}{2 \sin(\theta/2)}; \quad \tilde{\lambda} \ll R_A$$

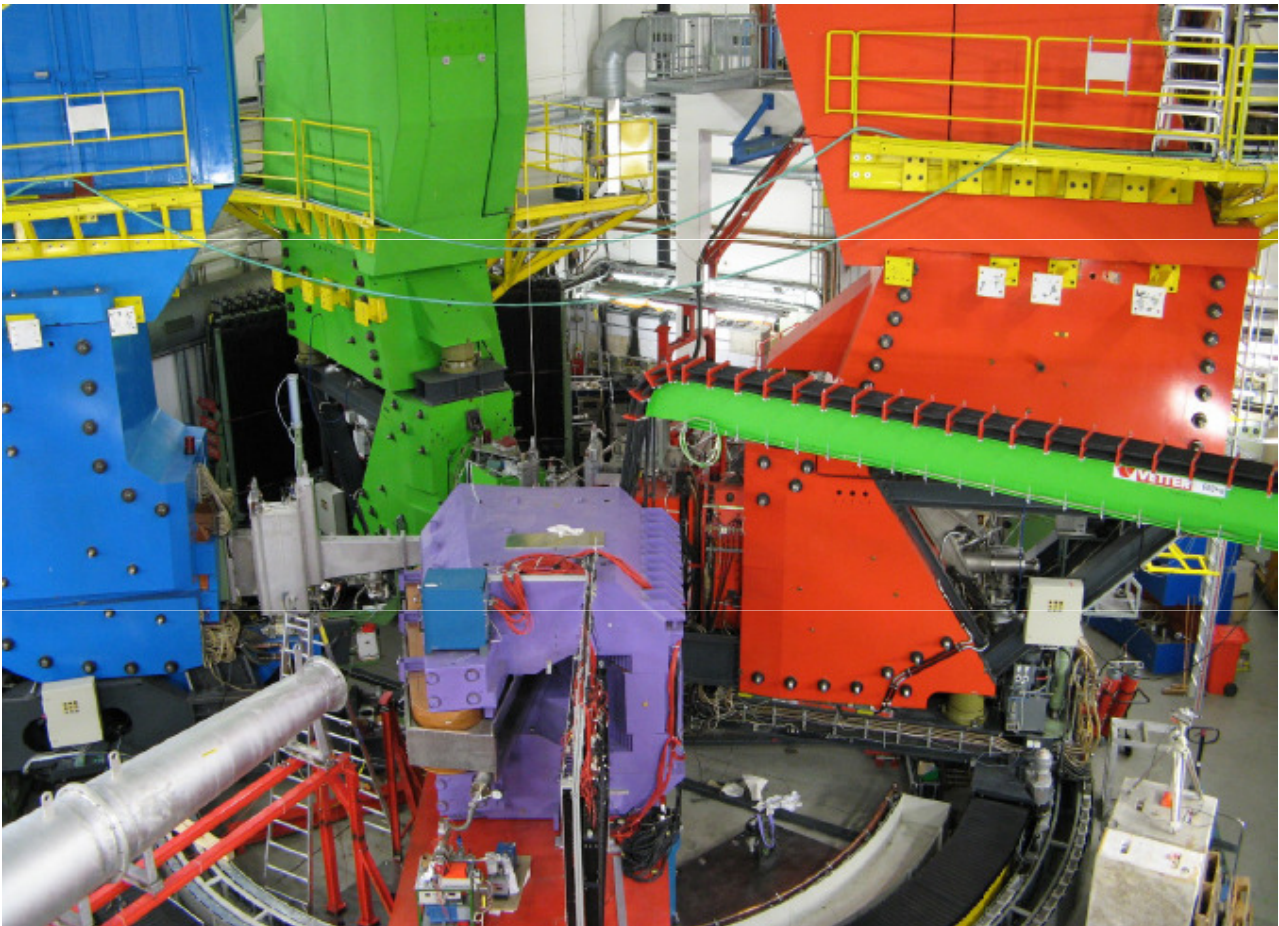
virtuelles Photon sieht immer weniger von der Ladungsverteilung, Auflösung wird verbessert

178

# Die Drei-Spektrometeranlage am Mainzer Mikrotron (MAMI)



## A1-Spektrometer an MAMI





# Messung des Radius eines Kernes

$e^-$ -Streuung an  $^{12}\text{C}$  bei 420 MeV

Minimum bei  $\theta_{\min} \approx 51^\circ$

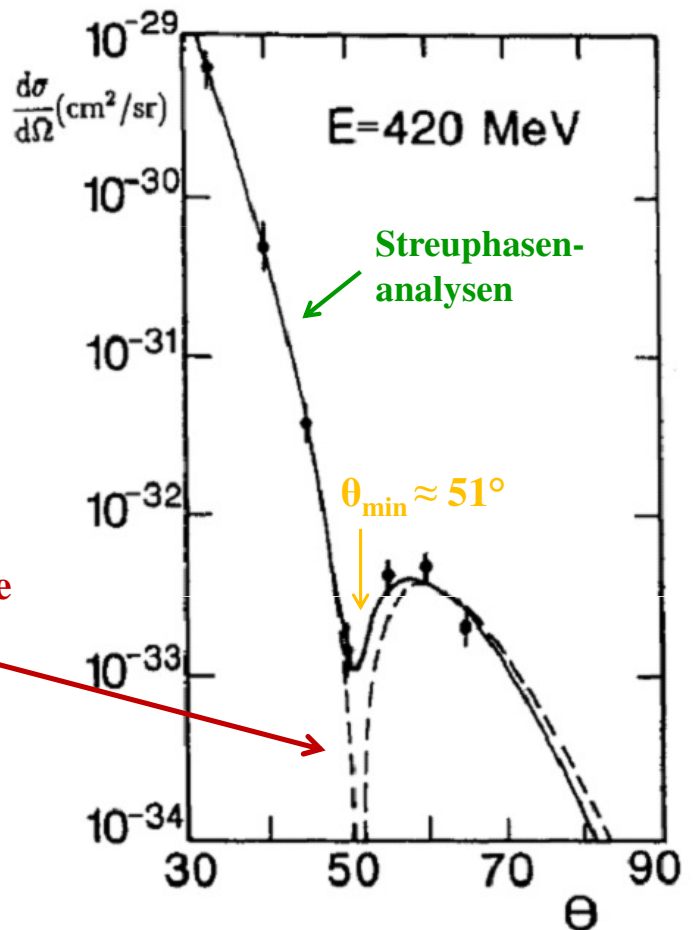
$\rightarrow R = 2,45 \text{ fm}$

$$\frac{|q|R}{\hbar} \approx 4.5$$

**Born'sche Näherung für eine homogene Kugel mit diffusem Rand**

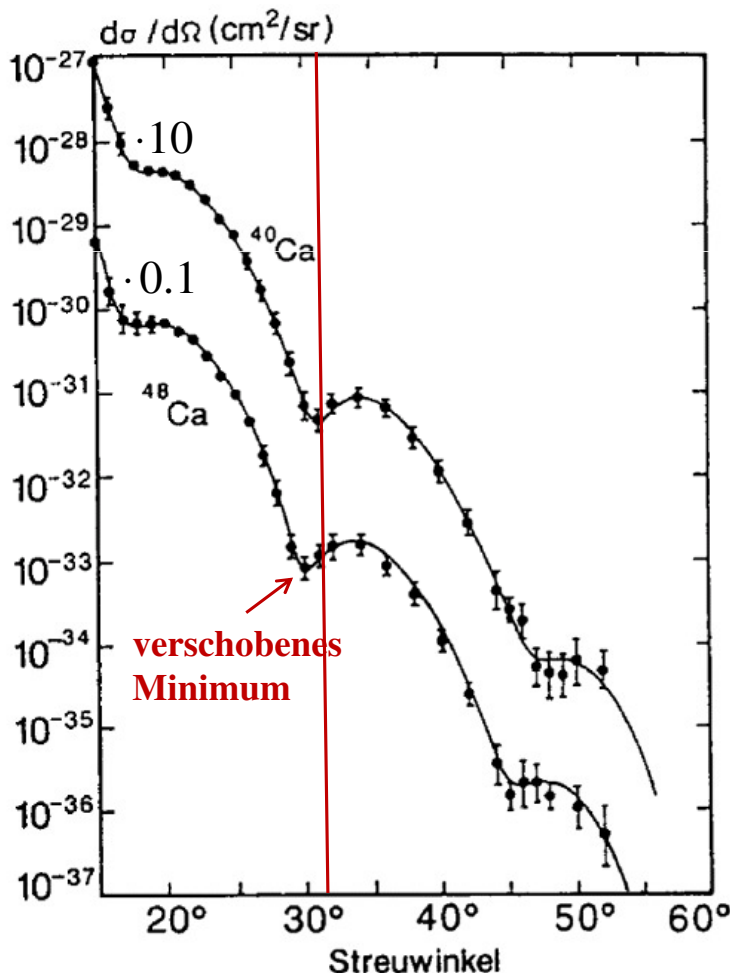
Born'sche Näherung nur anwendbar für kleine Kerne

Sonst: Mehrfachwechselwirkungen des Elektrons im Coulombfeld des Kernes



181

## Bestimmung des Kernradius



Vergleich der Streuung an  $^{40}\text{Ca}$  und  $^{48}\text{Ca}$

$$R(^{48}\text{Ca}) > R(^{40}\text{Ca})$$

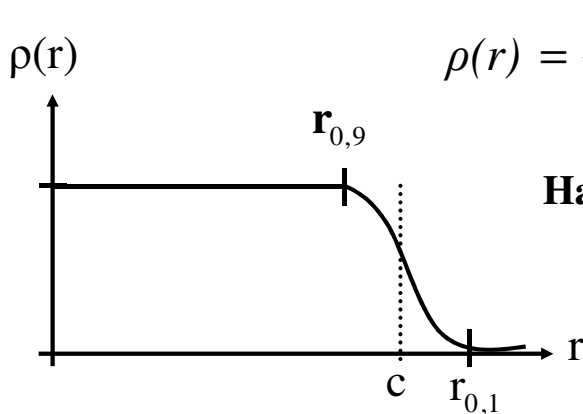
$\rightarrow$  Ladungsverteilung in  $^{48}\text{Ca}$  :  
größere räumliche Ausdehnung  
trotz gleicher Zahl von Protonen  
 $\Leftrightarrow$  Neutronen

182

# Radiale Ladungsverteilung

Präzisionsmessungen der  $e^-$ -Streuung zeigen:

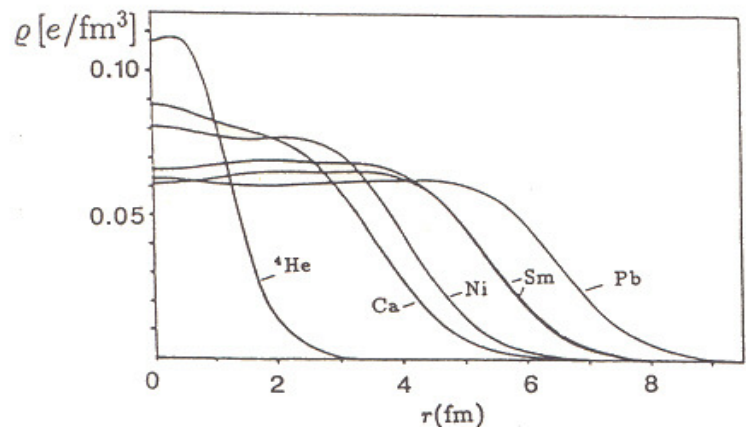
- Kerne haben keine scharf begrenzte Oberfläche
- im Inneren Ladungsdichte in etwa konstant  $\rightarrow$  Parametrisierung durch Fermi-Funktionen



$$\rho(r) = \frac{\rho(0)}{1 + e^{(r-c)/a}} \quad \begin{array}{l} c = 1,07 \text{ fm} \cdot A^{1/3} \\ a = 0,545 \text{ fm} \end{array}$$

Hautdicke:  $t = r(\rho = 0,1) - r(\rho = 0,9) \approx 2,4 \text{ fm}$   
 $\approx$  für alle schweren Kerne

Ergebnis einer Vielzahl von Elektronenstreuexperimenten



183

## Formfaktoren – mittlerer Radius einer Ladungsverteilung -

(Rutherfordstreuung: kein Rückstoß, kein Spin)

$$F(\vec{q}) = \int e^{i\vec{q} \cdot \vec{r} / \hbar} f(\vec{r}) d^3 r$$

Integration über den vollen Raumwinkel  
(kugelsym. Ladungsverteilung)

$$= 4\pi \int_0^\infty f(r) \frac{\sin(|\vec{q}| r / \hbar)}{|\vec{q}| r / \hbar} \cdot r^2 dr$$

Taylor-Entwicklung der Sinusfunktion:

$$\sin x = x - \frac{x^3}{3!} + \dots$$

$$F(q) = \underbrace{4\pi \int_0^\infty f(\vec{r}) r^2 dr}_1 \text{ (Normierung)} - \frac{1}{6} \frac{|\vec{q}|^2}{\hbar^2} \underbrace{4\pi \int_0^\infty r^2 f(\vec{r}) r^2 dr}_{\langle r^2 \rangle \triangleq \text{Definition}} + \dots$$

**=> Mittlerer Ladungsradius<sup>2</sup>:**

$$\langle r^2 \rangle \approx -6\hbar^2 \left. \frac{dF(q^2)}{dq^2} \right|_{q^2=0}$$

**Ergibt sich aus der Steigung des Formfaktors für  $q^2 \rightarrow 0$**

$\Leftrightarrow$  Messung des Formfaktors bis zu sehr kleinen  $q^2$  notwendig

184